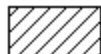
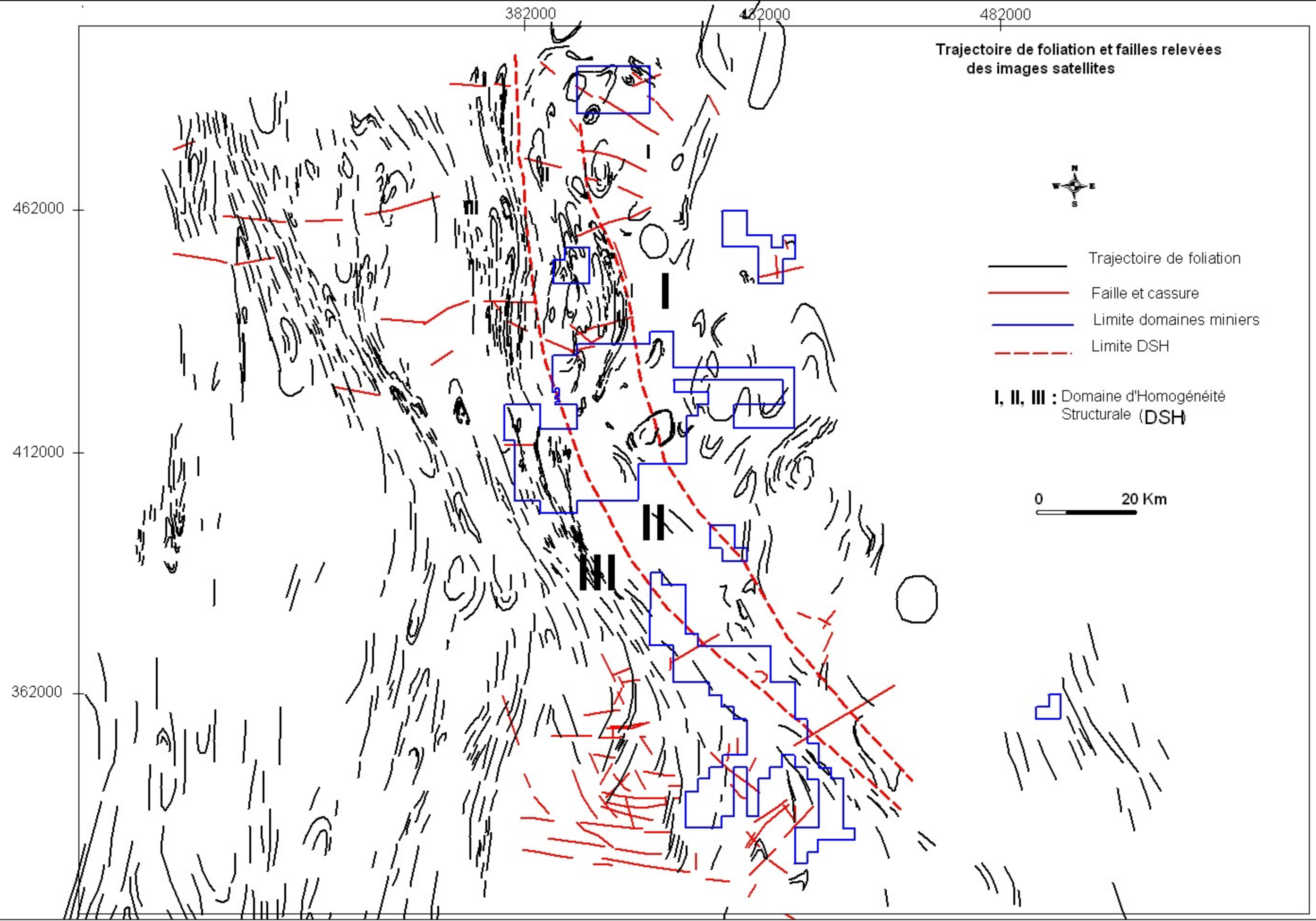


CARTE DES PRINCIPAUX INDICES

 Zone possible recelant des structures à uranium

0  40 Km



382000

432000

482000

Carte des indices de minéralisation

plotés sur la trajectoire
de foliation et les failles

462000

412000

362000














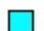
- Trajectoire de foliation
- Faille et cassure
- Limite domaines miniers
- Limite DSH

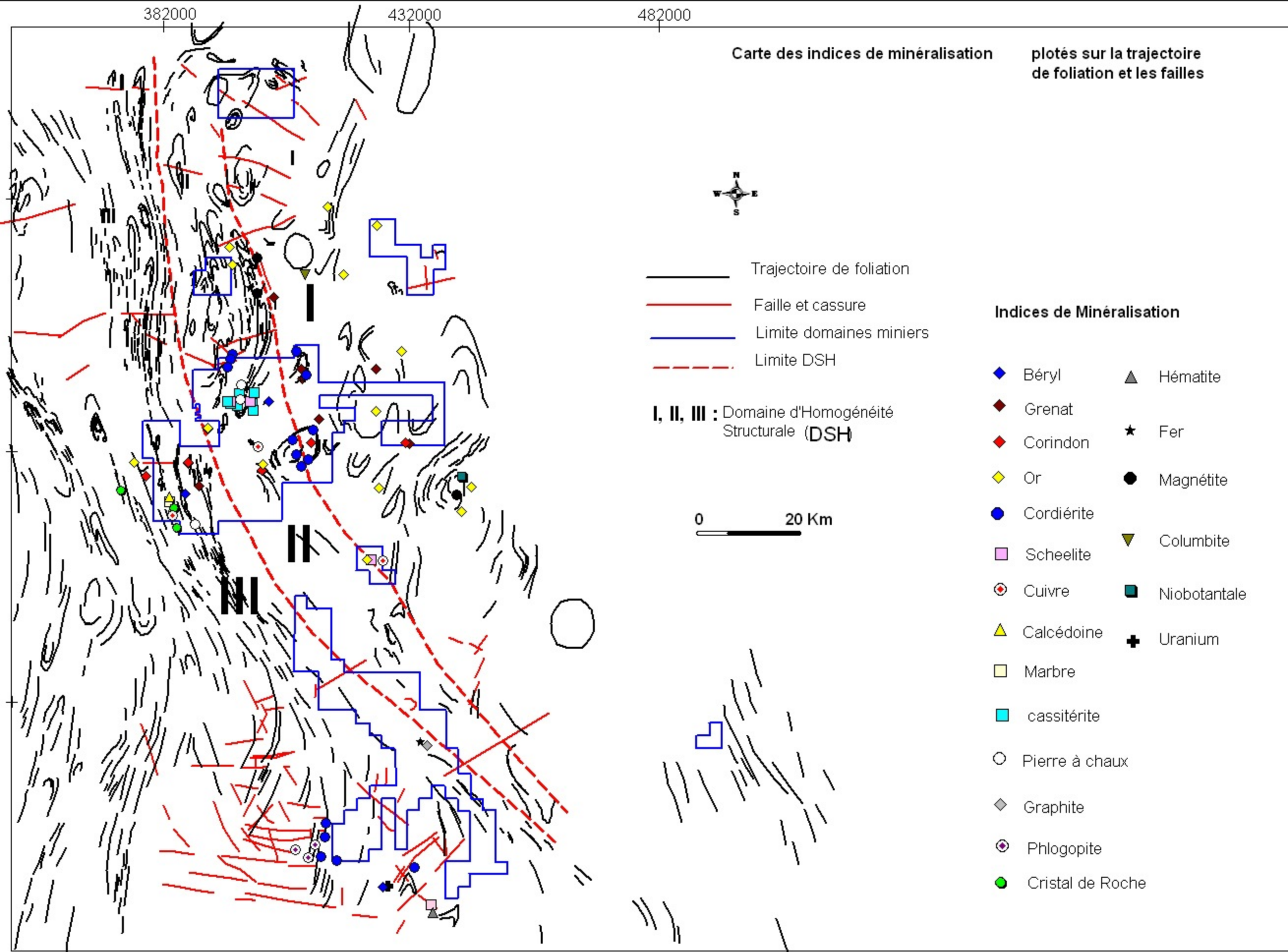
I, II, III : Domaine d'Homogénéité
Structurale (DSH)

0 20 Km



Indices de Minéralisation

- | | |
|---|--|
|  Béryl |  Hématite |
|  Grenat |  Fer |
|  Corindon |  Magnétite |
|  Or |  Columbite |
|  Cordiérite |  Niobotantale |
|  Scheelite |  Uranium |
|  Cuivre |  Pierre à chaux |
|  Calcédoine |  Graphite |
|  Marbre |  Phlogopite |
|  cassitérite |  Cristal de Roche |



**Brèves descriptions des minéralisations reconnues
dans les domaines miniers de Mines Tany Hafa**

Substances minérales	Occurrences géologiques	Vecteur de Minéralisation possible	Coordonnées (m) des aires de minéralisation		Domaines miniers de MTH concernés
			X	Y	
Corindon					
Cor 1	Lithologie : <i>Gneiss leptynitique (formation de Benato)</i> Tectonique : <i>dans DHS 3 (flanc de pli déraciné), Intersection de deux failles (NE-SW et E-W)</i>	Circulation probable de fluide	378 100	406 600	Légèrement en dehors du domaine minier D
Cor 2	Lithologie : <i>leptynite granitoïde à grenat</i> Tectonique : <i>dans DHS 3 (flanc de pli déraciné), Intersection de deux failles NE-SW et NW-SE</i>	Circulation probable de fluide	386 400	409 100	Domaine minier D
Cor 3	Lithologie : <i>Gneiss à amphibole et biotite</i> Tectonique : <i>dans DHS 2, intersection de trois failles : NW-SE, E-W, NE-SW</i>	Circulation probable de fluide	401 180	407 800	Domaine minier D
Cor 4	Lithologie : <i>Gneiss à sillimanite et cordiérite</i> Tectonique : <i>DHS 1 sur la charnière de replissement, Intersection de trois failles NE-SW, NW-SE et E-W</i>	Circulation probable de fluide	410 810	413 150	Domaine minier D

Substances minérales	Occurrences géologiques	Vecteur de Minéralisation possible	Coordonnées (m) des aires de minéralisation		Domaines miniers de MTH concernés
			X	Y	
Cor 5	Lithologie : <i>Gneiss</i> , Tectonique : <i>DHS 1 sur la charnière de replissement</i> , <i>Intersection de trois failles NE-SW, NNE-SSW et E-W</i>	Circulation probable de fluide	429 560	413 130	Domaine minier D
<u>Uranium</u>					
	Lithologie : <i>Migmatite</i> Tectonique : <i>Intersection de réseaux de failles de direction N-S, NE-SW, NW-SE, EES-WWN</i>	Circulation probable de fluide	425 700	325 260	Localisation de l'indice répertorié : hors domaine minier de MTH. Extension possible dans le domaine minier F de MTH et ce, suivant la compréhension de la cartographie numérique géophysique. Surface possible totale contenant des structures à uranium : 103 km ² dont 26 km ² inclus dans le domaine minier F de MTH.
<u>Minerais industriels</u>					
<u>Fer</u>					
Fer 1	Lithologie : <i>Gneiss à pyroxène à bancs intercalés de quartzite</i> Tectonique : <i>DHS 3 (flexure de Ranotsara)</i>	Métamorphisme	432 490	353 910	Domaine minier F
Fer 2	Lithologie : <i>Leptynite à sillimanite-cordiérite-grenat et gneiss à sillimanite-cordiérite</i>	Métamorphisme	398 770	444 020	4 kms à l'Est du domaine minier B

Substances minérales	Occurrences géologiques	Vecteur de Minéralisation possible	Coordonnées (m) des aires de minéralisation		Domaines miniers de MTH concernés
			X	Y	
Graphite					
Gr 1	Lithologie : <i>Gneiss à pyroxène à bancs intercalés de quartzite</i> Tectonique : <i>DHS 3 (flexure de Ranotsara)</i>	Métamorphisme	433 730	353 090	Domaine minier F
Gr 2	Lithologie : <i>Gneiss à amphibole-biotite</i>	Métamorphisme	384 130	398 790	Domaine minier D
Scheelite					
Sch 1	Lithologie : <i>Gneiss à amphibole et biotite</i> Tectonique : <i>DHS 1,</i>	Métamorphisme	422 730	390 000	Domaine minier E
Sch 2	Lithologie : <i>Leptynite à grenat-sillimanite-cordièrite</i> Tectonique : <i>DHS 2, sur flanc de replis,</i>	Métamorphisme	398 740	421 350	Domaine minier D
Sch 3	Lithologie : <i>Gneiss à grenat</i> Tectonique : <i>DHS 2,</i>	Métamorphisme	394 900	421 310	Domaine minier D
Cuivre					
Cu 1	Lithologie : <i>Cipolin intercalé dans gneiss leptynitique</i> Tectonique : <i>DHS 3 (flexure de Zazafotsy),</i>		383 348	398 787	Domaine minier D
Cu 2	Lithologie : <i>couverture alluvionnaire</i> Tectonique : <i>DHS 2</i>	Sédimentation	400 290	412 490	Domaine minier D
Cu 3	Lithologie : <i>Gneiss à pyroxène intercalé dans gneiss à amphibole – biotite</i> Tectonique : <i>DHS 1</i>		425 010	389 630	Domaine minier E